

# Teilformeln von $\Phi$



$$\Phi_{\underline{w}}(V_0, \dots, V_T) := \mathbf{Config}(V_0) \wedge \mathbf{Config}(V_1) \wedge \dots \wedge \mathbf{Config}(V_T) \\ \wedge \mathbf{Start}_{\underline{w}}(V_0) \wedge \mathbf{Succ}(V_0, V_1) \wedge \dots \wedge \mathbf{Succ}(V_{T-1}, V_T) \wedge \mathbf{Akz}(V_T)$$

Boole'sche Variablen von  $\Phi$  und ihre intuitive Bedeutung:

$d_{s,a,t}$ : „Nach Schritt  $t$  steht in Bandzelle  $s$  das Symbol  $a$ “  $a \in \Gamma, q \in Q$   
 $h_{s,t}$ : „Nach Schritt  $t$  steht der Kopf auf Zelle  $s$ “  $s=1..S(|\underline{w}|)$   
 $z_{q,t}$ : „Nach Schritt  $t$  ist die Maschine im Zustand  $q$ “  $t=0...T(|\underline{w}|)$

$V_t :=$  der Teil der Variablen, die zum Rechenschritt  $\#t$  gehören  
 $= \{ d_{s,a,t} : a \in \Gamma, s \leq S \} \cup \{ h_{s,t} : s \leq S \} \cup \{ z_{q,t} : q \in Q \}$

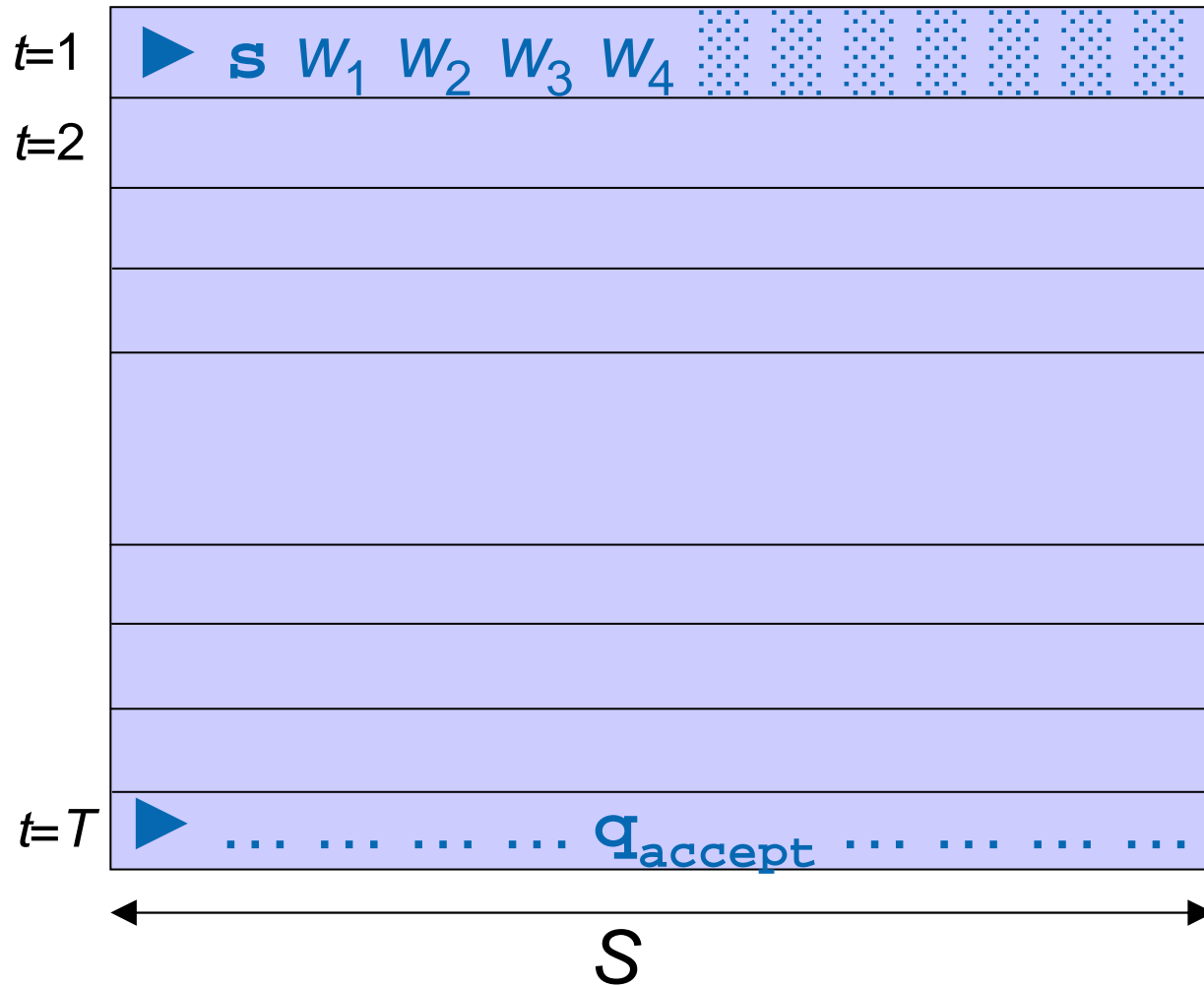
$\mathbf{Config}(V_t)$ : wird **wahr** genau für die Belegungen von  $V_t$ ,  
die eine Konfiguration beschreiben.

$\mathbf{Succ}(V_t, V_{t+1})$ : wird **wahr** genau für die Belegungen von  $V_t \cup V_{t+1}$ ,  
die Konfigurationen  $K$  und  $K'$  beschreiben mit  $K \vdash K'$ .

$\mathbf{Start}_{\underline{w}}(V_0)$ : wird **wahr** genau für Belegung, die  $q_0 \underline{w}$  beschreibt.

$\mathbf{Akz}(V_T)$  **wahr** für Belegung, die einen akz. Endzustand beschreibt

# Skizze zum Beweis



Start( $V_1, \underline{w}$ )

Succ( $V_1, V_2$ )

Succ( $V_2, V_3$ )

$T$

Succ( $V_{T-1}, V_T$ )

Akz( $V_T$ )

Config( $V_1$ )  $\wedge \dots \wedge$  Config( $V_T$ )

Gibt es so eine  
Belegung?

Gibt es solch eine Rechnung auf der NTM?

# Config( $V$ ), Start $_{\underline{w}}$ , Akz



**wahr** für Belegungen, die eine Konfiguration beschreiben

$$V = \{ d_{s,a} : a \in \Gamma, s \leq S \} \cup \{ h_s : s \leq S \} \cup \{ z_q : q \in Q \}$$

$d_{s,a}$ : „in Bandzelle #s steht das Symbol a“

$h_s$  : „Kopf steht auf Zelle #s“       $z_q$  : „N ist in Zustand q“

Abkürzung  $\text{uniq}(x_1, \dots, x_r) := (x_1 \vee \dots \vee x_r) \wedge \bigwedge_{i \neq j} (\neg x_i \vee \neg x_j)$   
**wahr**  $\Leftrightarrow$  genau ein  $x_i$  ist **wahr**,      Länge  $O(r^2)$ .

**Config( $V$ )** :=

$$\text{uniq}(h_1, \dots, h_S) \wedge \text{uniq}(z_q : q \in Q) \wedge \bigwedge_{s \leq S} \text{uniq}(d_{s,a} : a \in \Gamma)$$

hat Länge  $O(S^2 + |Q|^2 + S \cdot |\Gamma|^2) = O(S^2)$ , da NTM  $N$  fixiert.

**Start $_{\underline{w}}$ ( $V$ )** :=  $h_1 \wedge z_{q_0} \wedge d_{1,w_1} \wedge \dots \wedge d_{n,w_n} \wedge d_{n+1,B} \wedge \dots \wedge d_{S,B}$

**Akz( $V$ )** :=  $z_{q_+}$       Länge  $O(S)$

**Start $_{\underline{w}}$ ( $V$ )** : wird **wahr** genau für Belegung, die  $q_0 \underline{w}$  beschreibt.

# Succ( $V_t, V_{t+1}$ )



wahr genau für die Belegungen, die aufeinanderfolgende Konfigurationen beschreiben

Abkürzungen: „ $x=y$ “  $\Leftrightarrow (x \vee \neg y) \wedge (\neg x \vee y)$

$Y_{s,q,a,p,b,L} := \text{„}(h_{s,t} \wedge z_{q,t} \wedge d_{s,a,t}) \Rightarrow (z_{p,t+1} \wedge d_{s,b,t+1} \wedge h_{s-1,t+1)\text{“}$

$Y_{s,q,a,p,b,N}(V_t, V_{t+1})$  und  $Y_{s,q,a,p,b,R}(V_t, V_{t+1})$  analog

*„Kopf steht auf Bandzelle #s oder Zelle #s bleibt unverändert“*

$$\text{Succ}(V_t, V_{t+1}) := \bigwedge_{s \leq S} \bigwedge_{a \in \Gamma} (h_{s,t} \vee \text{„}d_{s,a,t} = d_{s,a,t+1}\text{“}) \\ \wedge \bigwedge_{s \leq S} \bigvee_{(p,b,X) \in \delta(q,a)} Y_{s,q,a,p,b,X}(V_t, V_{t+1})$$

$d_{s,a,t}$ : „Nach Schritt  $t$  steht in Bandzelle  $s$  das Symbol  $a$ “  $a \in \Gamma, q \in Q$

$h_{s,t}$ : „Nach Schritt  $t$  steht der Kopf auf Zelle #s“  $s=1..S$

$z_{q,t}$ : „Nach Schritt  $t$  ist die Maschine im Zustand  $q$ “  $t=0..T$

# Zusammenfassung des Beweises



**Config( $V_t$ )** : wird **wahr** genau für die Belegungen von  $V_t$ ,  
die eine Konfiguration beschreiben.

**Succ( $V_t, V_{t+1}$ )** : wird **wahr** genau für die Belegungen von  $V_t \cup V_{t+1}$ ,  
die Konfigurationen  $K$  und  $K'$  beschreiben mit  $K \vdash K'$ .

**Start $_{\underline{w}}$ ( $V_0$ )** : wird **wahr** genau für Belegung, die  $q_0 \underline{w}$  beschreibt.

**Akz( $V_T$ )** **wahr** für Belegung, die einen akz. Endzustand beschreibt

**Jeweils berechenbar aus  $\underline{w}$  in polynom. Zeit**

$$\Phi_{\underline{w}}(V_0, \dots, V_T) := \mathbf{Config}(V_0) \wedge \mathbf{Config}(V_1) \wedge \dots \wedge \mathbf{Config}(V_T) \\ \wedge \mathbf{Start}_{\underline{w}}(V_0) \wedge \mathbf{Succ}(V_0, V_1) \wedge \dots \wedge \mathbf{Succ}(V_{T-1}, V_T) \wedge \mathbf{Akz}(V_T)$$

**Berechenbar in polynom. Zeit und gilt:**

**$N$  akzeptiert  $\underline{w} \iff \Phi_{\underline{w}}$  ist erfüllbar** ■



# ***NP-vollständige Probleme***

**Def. (Erinnerung):**  $A$  heißt **NP-vollständig**, falls  
 $A \in \mathbf{NP}$  und für jedes  $L \in \mathbf{NP}$  gilt:  $L \leq_p A$

**Cook-Levin:** **SAT** ist **NP-vollständig**.

Wissen:  $\mathbf{CLIQUE} \equiv_p \mathbf{IS} \leq_p \mathbf{SAT} \equiv_p \mathbf{3SAT} \leq_p \mathbf{IS}$ .

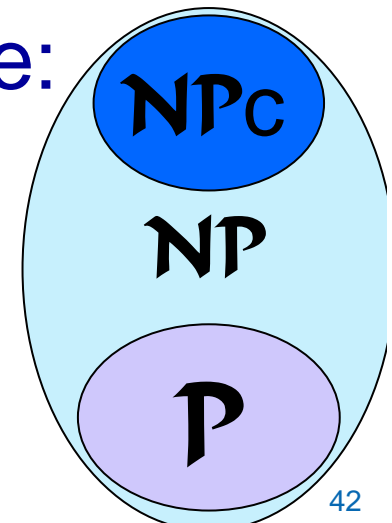
$\Rightarrow$  auch **CLIQUE, IS, 3SAT** sind **NP-vollständig**

**Lemma.** Sei  $A$  **NP-vollständig** und gelte:

- $B \in \mathbf{NP}$

- $A \leq_p B$

Dann ist auch  $B$  **NP-vollständig**.



# SubsetSum NP-vollständig

$$\{ \langle a_1, \dots, a_N, b \rangle \mid a_1, \dots, a_N, b \in \mathbb{N}, \exists \alpha_1, \dots, \alpha_N \in \{0, 1\} : b = \sum_i a_i \cdot \alpha_i \}$$

SubsetSum  $\in$  NP  $\checkmark$       Zeige: 3SAT  $\leq_p$  SubsetSum

In polynom. Zeit: 3KNF  $\Phi \rightarrow X \subseteq \mathbb{N}$  und  $b \in \mathbb{N}$  mit:  
 $\exists$  erfüllend. Belegung von  $\Phi \Leftrightarrow \exists Y \subseteq X: b = \sum_{a \in Y} a$

Bsp  $\Phi = (x_1 \vee \neg x_3 \vee x_5) \wedge (\neg x_1 \vee x_5 \vee x_4) \wedge (\neg x_2 \vee \neg x_2 \vee \neg x_5)$

$v_1 :=$	100	10000	$v_1' :=$	010	10000	$b :=$	444	11111
$v_2 :=$	000	01000	$v_2' :=$	002	01000	$c_1 :=$	100	00000
$v_3 :=$	000	00100	$v_3' :=$	100	00100	$d_1 :=$	200	00000
$v_4 :=$	010	00010	$v_4' :=$	000	00010	$c_2 :=$	010	00000
$v_5 :=$	110	00001	$v_5' :=$	001	00001	$d_2 :=$	020	00000
						$c_3 :=$	001	00000

$m$  Klauseln in  $n$  Var.  $\rightarrow 2n+2m+1$  Werte  $\rightarrow n+m$  Dez.ziffern

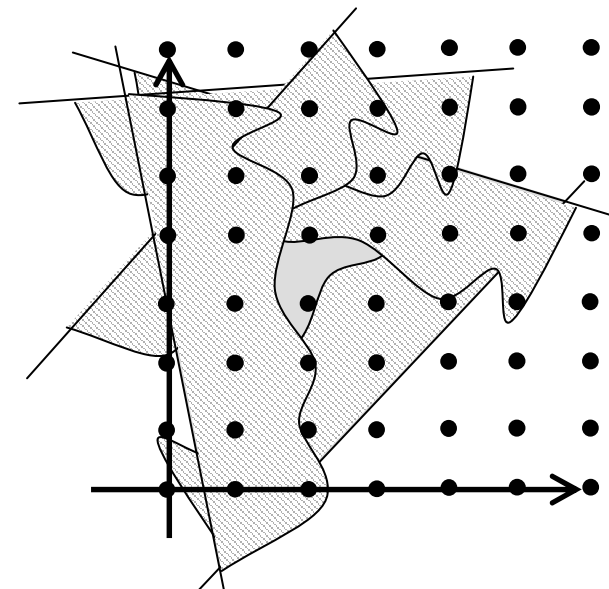
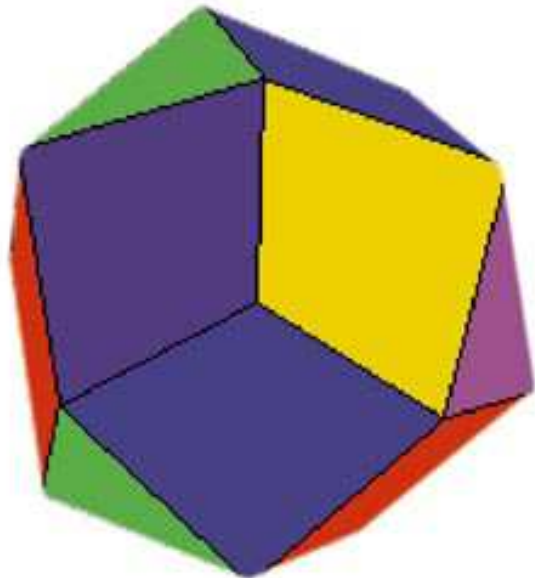
# Integer Linear Program

Ein **lineares Programm** ist ein lin. Ungleichungssystem der Form  $A \cdot \underline{y} \leq \underline{b}$  mit  $m \times n$ -Matrix  $A$  und  $m$ -dim Vektor  $b$ .

Geometrische Intuition:

$\{\underline{y} \in \mathbb{R}^n \mid \underline{a} \cdot \underline{y} \leq \beta\}$  ist Halbraum,  
d.h.  $\{\underline{y} \in \mathbb{R}^n \mid \underline{a} \cdot \underline{y} \leq \beta\}$  Polytop.

*„Enthält es ganzzahlige Punkte?“*



# NP-vollständige Probleme



TECHNISCHE  
UNIVERSITÄT  
DARMSTADT

Complexity Theory

$SAT \equiv_p 3SAT \equiv_p IS \equiv_p CLIQUE \equiv_p VC$   
 $\equiv_p SubsetSum \equiv_p ILP$

NP-vollständige Probleme sind polynomialzeitäquivalent:

$A, B \in NP$  und  $A \leq_p B \leq_p A$ .

Außerdem NP-vollständig:

- Hamiltonkreis (HC),
- Travelling Salesperson (TSP)  
(Beweise in den Übungen)
- und noch über 300 weitere:

COMPUTERS AND INTRACTABILITY  
A Guide to the Theory of NP-Completeness

Michael R. Garey / David S. Johnson

